

討18 溶接熱影響部の靭性に及ぼす島状マルテンサイトの影響

神戸製鋼所 鋼板開発部

工博 笠松 格。細谷 隆司

高鳴 修嗣

1. 緒言

高張力鋼に大入熱溶接を施すと、一般にその熱影響部の靭性が劣化するることは周知の事実である。これは、主に、 γ 粒の粗大化、組織の上部ベーナイト化、あるいは島状マルテンサイトの生成などによるものと考えられる。しかし、最も支配的な脆化因子については必ずしも明らかではない。本研究では、入熱量の増加に伴う脆化挙動を γ 粒径および組織と関連させて検討するとともに、靭性に及ぼす島状マルテンサイトの影響、さらには、極低C鋼の島状マルテンサイト生成挙動について調査した。

2. 実験方法

供試鋼は市販の引張強さ $50 \sim 100 \text{ kg/mm}^2$ 級の高張力鋼である。その化学成分をTable 1に示す。これらの供試鋼より $16 \times 55 \text{ mm}$ の試験片を採取した後、種々の熱サイクルを付与した。熱サイクル条件としては、入熱量の影響を調べるために、最高加熱温度を 1350°C その保持時間を 5 sec. 一定にして、 800°C から 500°C までの冷却時間 (T_c) を $7 \sim 2800 \text{ sec.}$ の範囲で変化させた。

その後、これらの熱サイクル試験片を用いて、ハーフサイズの 2 mm V シャルビ試験、 γ 粒径測定、光学顕微鏡組織および島状マルテンサイトの観察を行なった。なお、一部の熱サイクル試験片については、電顕組織を観察するとともに、組織中ににおける残留一次テナイトの有無をX線回折によって調査した。

3. 実験結果および考察

3-1 靄性に及ぼす入熱量の影響

入熱量の増加による溶接熱影響部の脆化挙動を明らかにするために、 T_c と vT_{rs} の関係を調査した。その結果をFig. 1に示す。 T_c の増加に伴う vT_{rs} の変化は鋼種によって異なる。すなわち、HT-50の vT_{rs} は、ほとんど変化しない。HT-60の vT_{rs} は急激に上昇して後、 $T_c = 25 \text{ sec.}$ 以上ではほぼ一定の値となる。さらに、HT-80の vT_{rs} は、いわん低下して最小値を示した後急激に上昇し、 $T_c = 180 \text{ sec.}$ 以上ではほぼ一定値となる。また、HT-100(A)および(B)の vT_{rs} は、短時間側では、HT-80の場合と同様の変化を示しているが、長時間側の $T_c = 2800 \text{ sec.}$ (=おひこ) でも上昇する傾向を示している。HT-80～HT-100(B)でみられる vT_{rs} の最小値は、合金元素が多いほど低温、かつ長時間側に位置している。

vT_{rs} が上昇する T_c の範囲は、合金元素量の多い鋼種ほど長時間側に移行しており、また、その範囲における vT_{rs} の上昇量も、合金元素量の多い鋼種ほど大きくなる傾向がみられる。さらには、HT-50の vT_{rs} がほとんど変化せず、HT-60～HT-100(B)の vT_{rs} とは挙動を異にする現象は、興味深い。これは、HT-50の靄性を支配する因子がHT-60～HT-100(B)のそれとは異なっていることを示唆している。

Table 1 Chemical composition of steels. (wt. %)

Steel	C	Si	Mn	P	S	Cu	Ni	Cr	Mo	V	Al	B
HT-50	0.14	0.30	1.38	0.016	0.008	-	-	-	-	-	0.033	-
HT-60	0.11	0.24	1.22	0.008	0.007	0.20	0.45	0.14	0.13	0.04	0.035	-
HT-80	0.12	0.23	0.84	0.014	0.005	0.25	0.96	0.59	0.39	0.04	0.060	0.0012
HT-100(A)	0.10	0.28	1.01	0.010	0.003	0.25	3.32	0.58	0.43	0.06	0.037	-
HT-100(B)	0.09	0.26	0.60	0.008	0.003	0.25	4.91	0.49	0.42	0.06	0.040	-

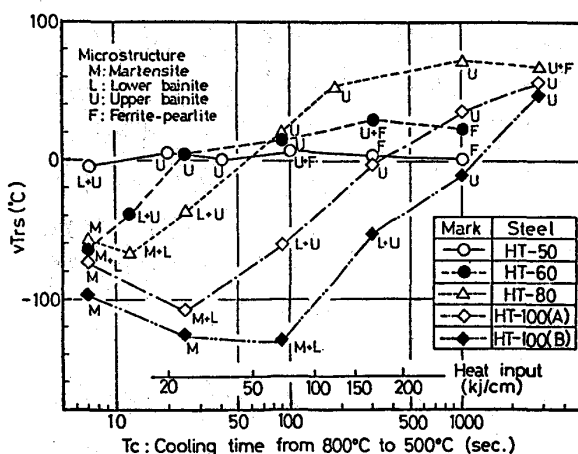


Fig. 1. Effect of cooling time on transition temperature with variation of microstructure.

3-2. ヨ粒径と韌性の関係

大入熱溶接熱影響部の韌性が劣化する原因の一つとして、従来より「粒の粗大化が多く報告されている。¹⁾ Fig.2は、 T_c の増加に伴うヨ粒度の変化を示したものである。この図から明らかのように、ヨ粒度は T_c の増加につれて、いずれの鋼種も単調に減少している。このようなく粒度の変化は、Fig.1に示した \sqrt{Trs} の変化とは対応していない。これは、ヨ粒度以外に、韌性を支配する因子が存在することを示している。

3-3. 組織と韌性の関係

熱サイクル後の試験片に観察された光学顕微鏡組織は、マルテンサイト(M)、下部ベーナイト(L)、上部ベーナイト(U)およびフェライト・パラライト(F)の单一組織およびこれら混合組織となっている。Fig.1は、各 T_c における組織をスティックスとして示し、 \sqrt{Trs} の変化と対応させている。この図から、一般に \sqrt{Trs} は組織がMからM+Lになると少しあがって低下し、ここで最小値を示す。その後、M+LからUへと変化すると \sqrt{Trs} が急激に上昇し、Uの単一組織で最大値を示す。さらにUからFへ変化すると、 \sqrt{Trs} はやや低下する傾向がある。ここで、 \sqrt{Trs} が最小となるM+Lおよび \sqrt{Trs} が急激に上昇するM+LからUにかけての組織領域に、合金元素量が多いほど長時間側へ移行していることは注目に値する。これは合金元素量が多いほど、焼入性が大きくなるためであり、 T_c の増加に伴う \sqrt{Trs} の変化が、組織の変化とよく対応していることを示している。

しかしながら、M+LからUにかけての \sqrt{Trs} の上昇量は、鋼種によって著しく異なっており、特に、Uの生成だけでは説明できない。すなわち、HT-50の \sqrt{Trs} は、ほとんど上昇していないが、HT-60～HT-100(B)の \sqrt{Trs} は、合金量が多いほど上昇している。この原因を究明するためには、組織をさらに詳細に観察せよ。

Photo.1は、HT-50とHT-80のUを対比して示したものである。 \sqrt{Trs} が上昇しないHT-50では、針状に伸びたフェライトラスの界面にセメントタイトが生成しており、典型的なりを示している。一方、HT-80では、塊状の組織が生成しており、このような塊状組織は \sqrt{Trs} が上昇するHT-60およびHT-100(A), (B) (=おひこ)でも認められた。

Photo.2(1)は、HT-80の塊状組織を電顕観察した結果を示す。レプリカ写真には塊状組織中にラス状の線がみられる。また、薄膜写真の中央部には双晶が明確に観察され、その周囲は転位密度が高くなっている。このような特徴を有する組織をL.J. Habraken²⁾はAustenitic martensitic regionと、³⁾三村らは島状マルテンサイトと称している。

L.J. Habrakenらは、この塊状組織中に

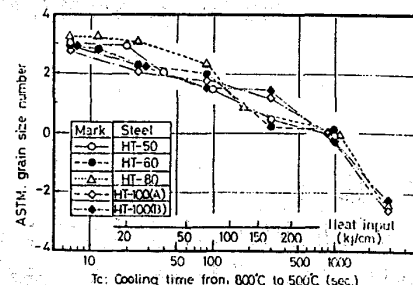


Fig.2 Variation of ASTM grain size number with cooling time.

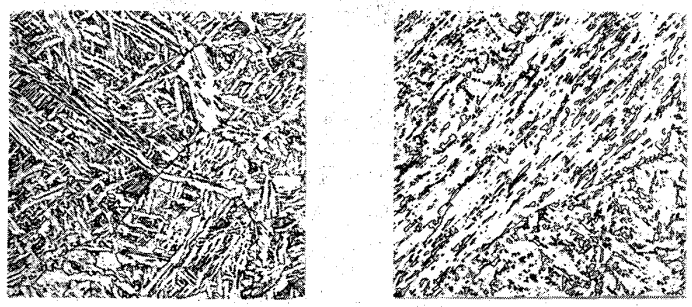


Photo.1 Upper bainite structure of HT-50 and HT-80

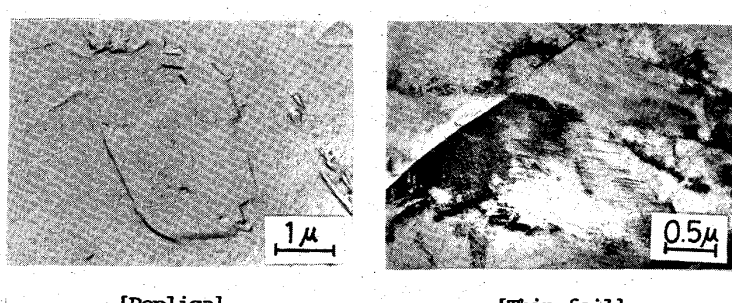


Photo.2 Electron micrographs of martensite island in HT-80 after synthetic welding thermal cycle.
(Tc=1000sec.)

は残留オーステナイトが存在すると報告しているが、本実験においても、この塊状組織が生成している場合には、X線回折によて残留オーステナイトが確認された。

以上のことから、MとLの混合組織からRへ組織が変化すると、 νT_{rs} が急激に上昇するのは、塊状組織が生成するためと考えられる。なお、本報では、この塊状組織を島状マルテンサイトと称す。

3-4. 韌性に及ぼす島状マルテンサイトの影響

島状マルテンサイトが韌性に及ぼす影響を明らかにするため、島状マルテンサイトが生成する T_c の範囲およびその生成数、大きさ、生成量を測定し、島状マルテンサイトの生成挙動を調査するとともに、これらと νT_{rs} の関係について検討した。

Fig.3には、島状マルテンサイトの生成挙動を示す。島状マルテンサイトが生成する T_c の範囲は、合金元素量の多い鋼種ほど、長時間側に移行している。この範囲における νT_{rs} の変化についてみると、Fig.1との対比から明らかのように、島状マルテンサイトが生成すると、いずれの鋼種の νT_{rs} も急激に上昇していることがわかる。

島状マルテンサイトの生成数は、HT-50の場合、さわめて少なく、 T_c が増してもほぼ一定になっている。一方、HT-60～HT-100(B)の場合の生成数は、 T_c が増すに伴って急激に増加した後、一定値を示す。また、合金元素量が多い鋼種ほどその増加量は大きい。

島状マルテンサイトの大きさ(円に換算した直徑)は、いずれの鋼種も T_c の増加に伴って増大しているがその変化は少ない。

島状マルテンサイトの生成量(面積率)は、HT-50の場合、生成数の変化と同様の傾向を示しているが、HT-60～HT-100(B)の場合、 T_c の増加について単調に増加している。つきに、島状マルテンサイトの生成数、大きさ、および生成量と νT_{rs} との関係を調べた。その結果、いずれも相関性があることが明らかになつたが、とくに、生成量と νT_{rs} との間には、Fig.4に示すように、さわめて高い相関性が認められた。

前節において、組織がMとLの混合組織から单一組織に変化する場合、 νT_{rs} の上昇量が、鋼種によって異なることを示したが、これは島状マルテンサイトの生成量によって説明される。すなわち、HT-50の νT_{rs} がほとんど変化しないのは、生成する島状マルテンサイト量が少ないのであり、一方、HT-60～HT-100(B)の νT_{rs}

が合金元素量の多い鋼種ほど上昇するのには、生成する島状マルテンサイト量が多いことによるものと考えられる。

以上のことから、島状マルテンサイトの生成量は、HT-60～HT-100(B)において、最も大きな脆化因子として作用している。HT-50では、その作用はさわめて少ない。

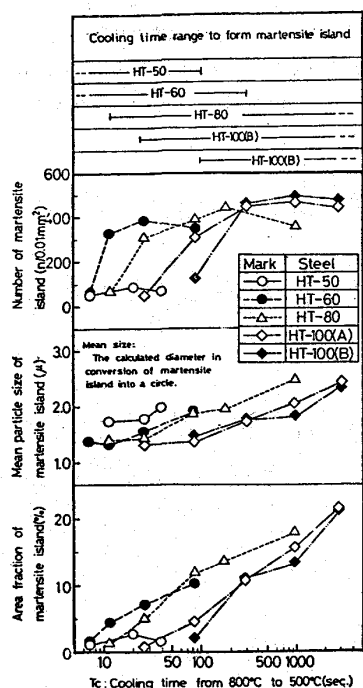


Fig.3 Variation of cooling time to form martensite island and morphology of martensite with cooling time.

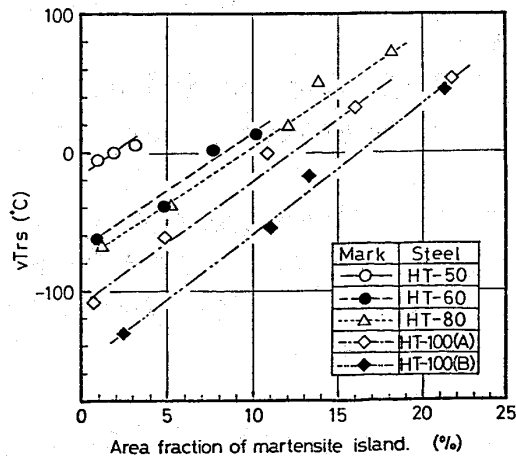


Fig.4 Relationship between area fraction of martensite island and transition temperature.

いえる。なお、Fig.4において、島状マルテンサイトの量が同一の場合についてみると vT_{rs} は、合金元素量の多い鋼種ほど低温側に位置している。このような鋼種間ににおける vT_{rs} の差は、Niなどの合金元素量に依存するマトリックスの靭性や組織の微細化の程度などによると考えられる。

3-5. 極低C鋼の島状マルテンサイト生成挙動

島状マルテンサイトは γ - α 変態時ににおける γ 中への C の分配によって γ が安定化するため、生成するといわれている。⁴⁾ したがって、島状マルテンサイトの生成量は C 含有量によって著しく影響されることが考えられる。本節では、C 含有量をフェライト固溶限以下に低減した極低 C 鋼の島状マルテンサイト生成量および靭性を調査した。

極低 C 鋼の化学成分およびその機械的性質を Table 2 に示す。この供試鋼 (A 鋼) は、100 kVA 高周波炉溶解して後、焼入小焼もどしによって製造した板厚 25 mm の 60 kg/mm^2 板の鋼板であり、その衝撃特性値 vT_{rs} は -92°C とさわめて優れている。

T_c の増加に伴う光学顕微鏡組織、島状マルテンサイト量および vT_{rs} の変化を調査した結果を Fig.5 に示す。なお、図中には、A 鋼と同一の強度を有する前述の HT-60 の結果を併記した。 $T_c = 7 \sim 300 \text{ sec}$ の範囲における A 鋼の組織は L と U の混合組織、U 単一組織および U と F の混合組織であり、これらの組織中に島状マルテンサイトが生成している。ただし、その生成量はさわめて少なく、 T_c を増加させても 2 ~ 4 % とほぼ一定である。このように島状マルテンサイト量の変化は、その生成量が急激に増加する HT-60 の場合とは全く異なり、むしろ、HT-60 のそれに近い。さらには、 T_c を増大させても、 vT_{rs} がほとんど上昇せず、かつ約 -30°C とさわめて低温側に位置していることは注目に値する。

大入熱溶接する場合、C 含有量の低減は溶接熱影響部における島状マルテンサイトの生成量を減少させ、靭性劣化を軽減するためには効果的であると考えられる。

4. 結論

溶接熱影響部の増大に伴う溶接熱影響部の靭性劣化には、 γ 粒の粗大化よりも、上部ベーナイト組織中に生成する島状マルテンサイトが最も大きな影響を及ぼしている。また、極低 C 鋼は島状マルテンサイトの生成量がさわめて少なく、かつ入熱量依存性を示さないため、大入熱溶接した溶接熱影響部の脆化軽減に効果があることが判明した。

参考文献

- 1) たとえば 第36, 37回西山記念技術講座テキスト「厚鋼板の溶接熱影響部及び熱影響部の靭性」(1975) P.151
- 2) L. J. Habraken et.al : Symposium "Transformation and Hardenability in Steels" Feb, (1967) P.69
- 3) 三井、青木 : IIW, Doc. IX-629-69. (1969)
- 4) V. Biss, K. L. Cryderman : Metallurgical Transaction, Vol. 2 (1971) P. 2267

Table 2 Chemical composition and mechanical property of ultra low carbon steel.

Steel	Thickness (mm)	Chemical composition (wt.%)										T.S (kg/mm ²)	vT_{rs} (°C)	
		C	Si	Mn	P	S	Cu	Ni	Cr	Mo	V			
A	25	0.02	0.26	1.76	0.010	0.005	0.25	0.51	0.36	0.22	0.05	0.031	62.8	-92

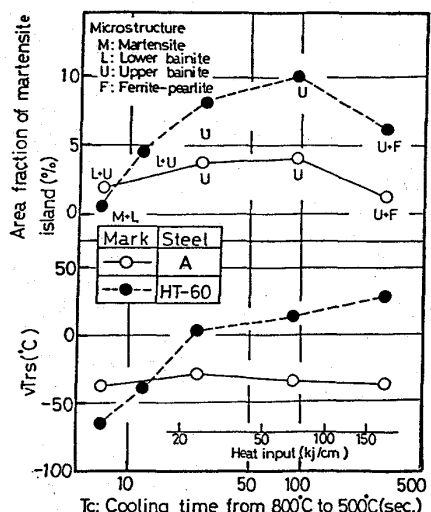


Fig.5 Variation of area fraction of martensite island, vT_{rs} , microstructure with T_c .